



INTERNATIONAL ATOMIC ENERGY AGENCY
UNITED NATIONS EDUCATIONAL, SCIENTIFIC AND CULTURAL ORGANIZATION
INTERNATIONAL CENTRE FOR THEORETICAL PHYSICS
I.C.T.P., P.O. BOX 586, 34100 TRIESTE, ITALY, CABLE: CENTRATOM TRIESTE



H4.SMR/383 - 07

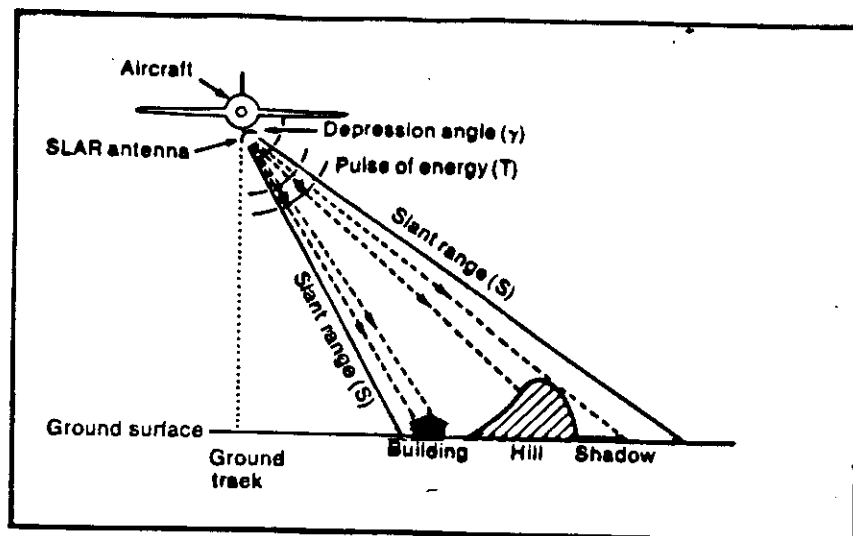
WORKSHOP ON REMOTE SENSING TECHNIQUES
WITH APPLICATIONS TO AGRICULTURE, WATER
AND WEATHER RESOURCES

(27 February - 21 March 1989)

OPERATIVE SENSORS

OPERATIVE SATELLITES

C. MARINO
UNIVERSITA' DEGLI STUDI DI MILANO
DIPARTIMENTO DI SCIENZE DELLA TERRA
SEZIONE DIGEOFISICA
20129 MILANO
ITALY



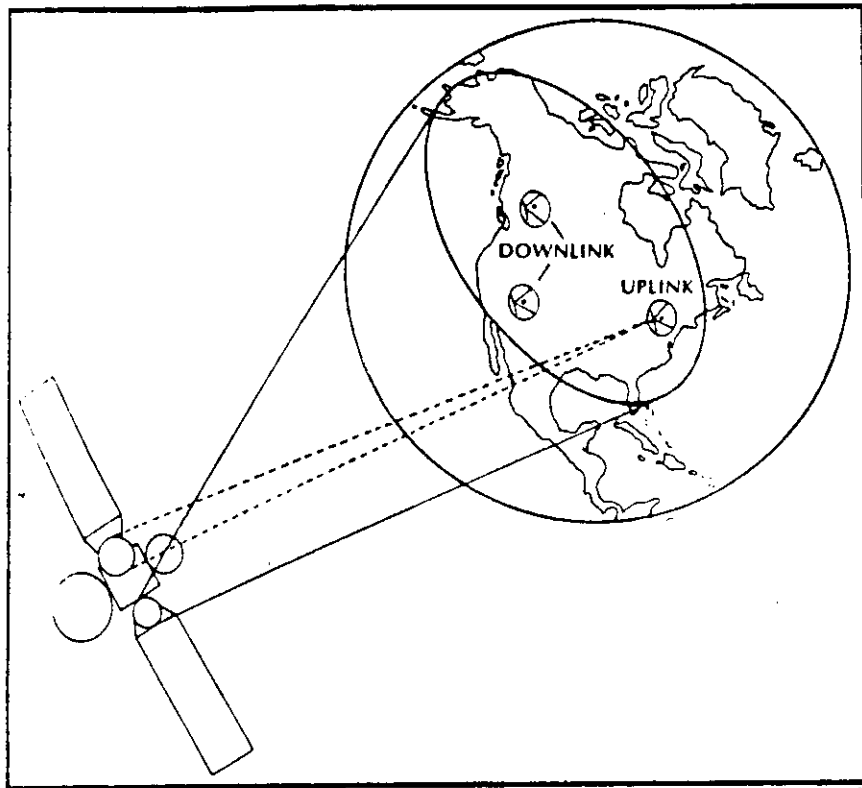
Schematic illustration of a side-looking airborne radar (SLAR)

Wavebands commonly used in radar remote sensing

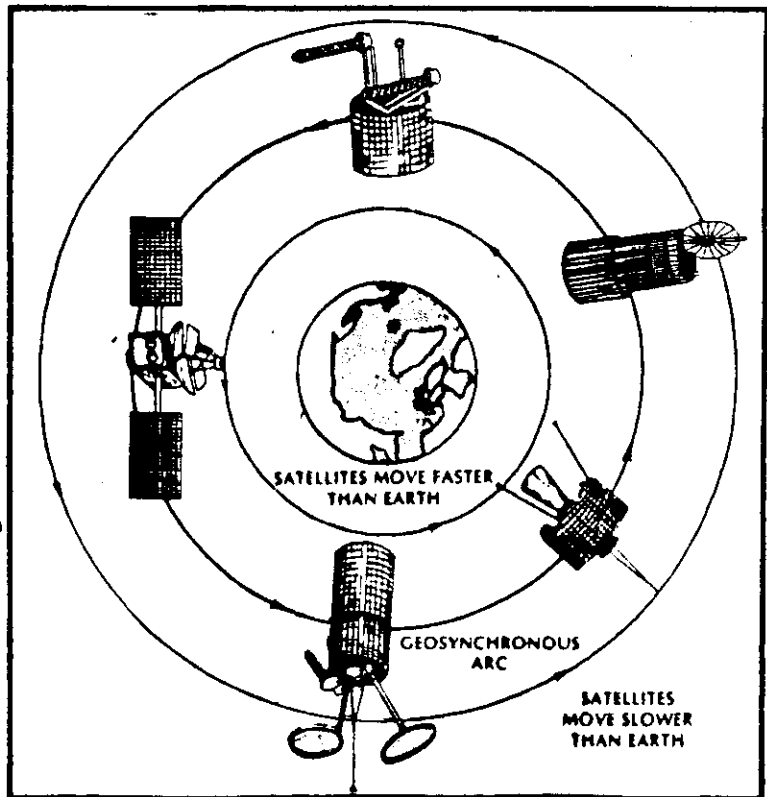
Band designation	Wavelength range (mm)	Frequency (GHz)
K _a	8–11	28–37.5
K	11–17	18–28
X	24–38	8–12.5
C	38–75	4–8
L	150–300	1–2

Polarisation combinations for radar

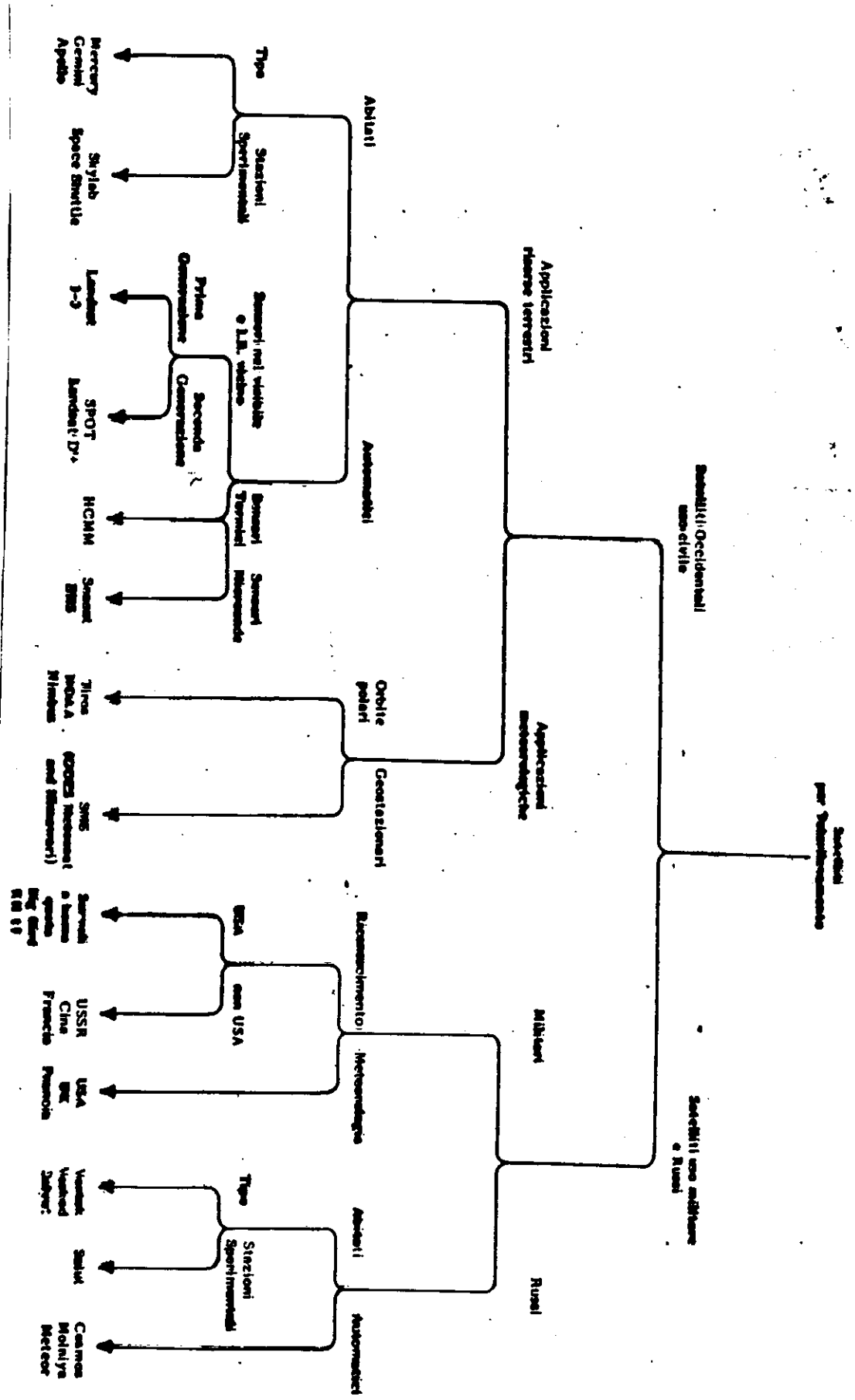
Transmitted energy	Received energy	
Horizontal	HH	Horizontal
Vertical	VV	Vertical
Horizontal	HV	Vertical
Vertical	VH	Horizontal



The Satellite Communication Circuit. All satellite signals must be uplinked from a high power amplifier (HPA), channeled into a feedhorn and reflected from the antenna towards the communication satellite. The signal is received by the spacecraft's antennas, amplified, lowered in frequency and redirected back to earth. Typical Ku-band uplink frequencies are 14.0 to 14.5 GHz. In North America, FSS downlink frequencies are 11.7 to 12.2 GHz for satellites orbiting from 57 to 146 degrees West. Different downlink frequency ranges have also been allocated.



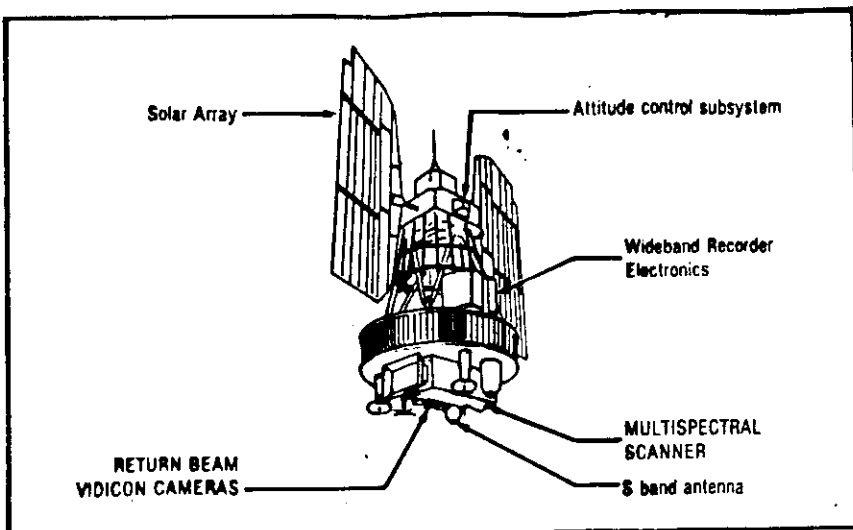
The Geosynchronous Arc. Satellites in higher or lower positions than the geostationary orbit of 35,803 kilometers (22,247 mi) over the equator will rotate more slowly or quickly, respectively, than the speed of the Earth. Only satellites in the geostationary orbit appear to stay in a fixed position relative to an observer on the earth below.



abilità (Occidentali
non civile)

abilità uso militare
a Russi

per l'esplorazione



The first generation Landsat platform

TABLE 5: Operation periods of the Landsat 1-3 satellites

Satellite	Launch date	End of operation
Landsat 1	23 July 1972	6 January 1978
Landsat 2	22 January 1975	27 July 1983*
Landsat 3	5 March 1978	7 September 1983**

Source: NOAA (1986)

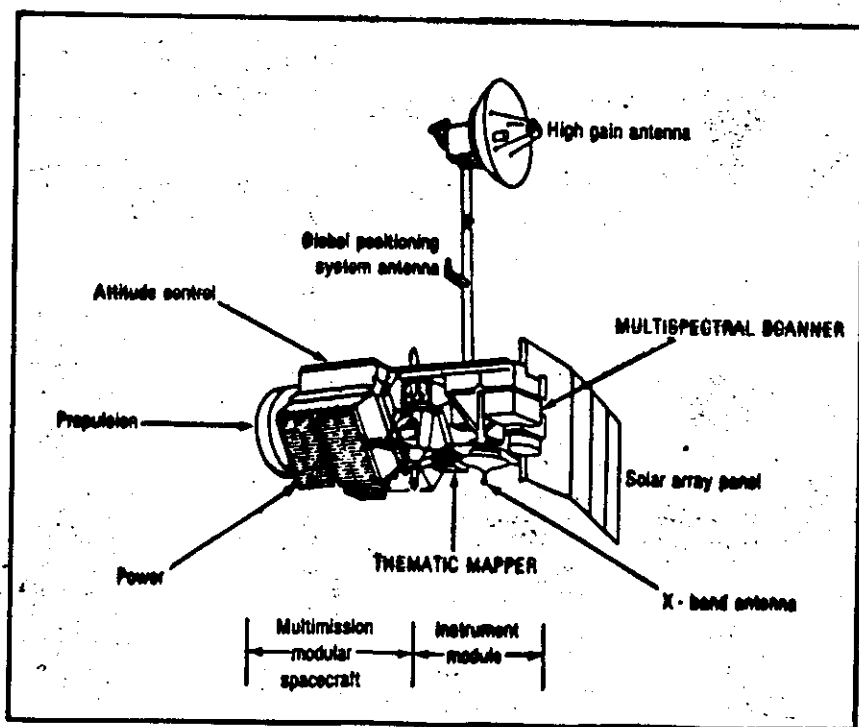
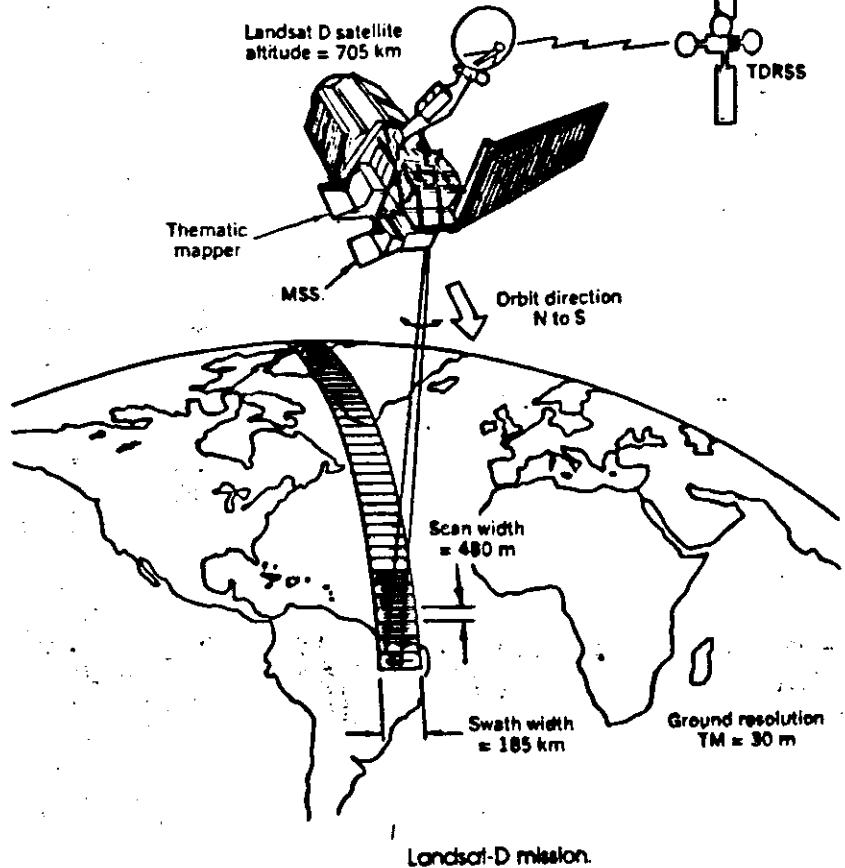
*Interruption in 1979-80

**Standby mode from 31 March 1983

TABLE 6: Wavebands of the Landsat Multispectral Scanner

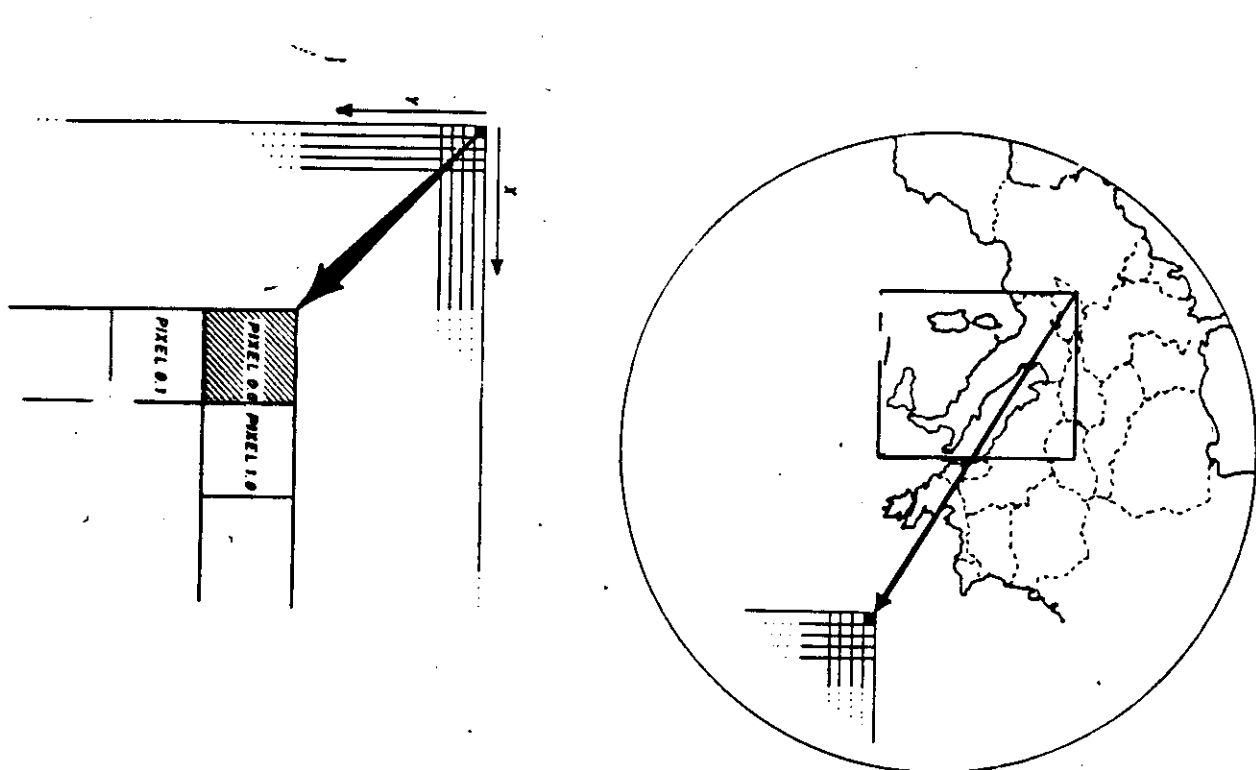
Band	Wavelength range (μm)	Applications
4	0.5-0.6	Sediment loads; shallow water
5	0.6-0.7	Vegetation; cultural features
6	0.7-0.8	Land/water separation
7	0.8-1.1 (1.0*)	Vegetation and geological studies

*The upper limit of band 7 is normally quoted as $1.1\mu\text{m}$, but has also been quoted as $1.0\mu\text{m}$.



The second generation Landsat platform

1 - Le immagini riprese dallo spazio dai satelliti artificiali sono costituite da elementi finiti chiamati pixel (= Picture element) ciascuno dei quali è caratterizzato dalla sua posizione sull'immagine e da un numero che rappresenta l'intensità della radiazia al suolo; questo per ciascuna delle bande di ripresa.



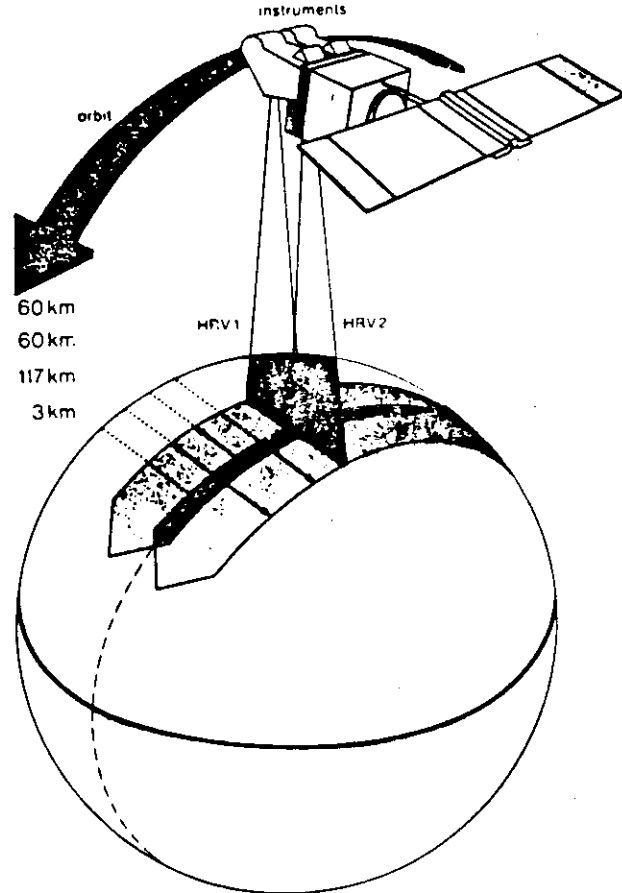


FIG. 23 - Sistema di visione in cui lavorano in parallelo i due HRV.

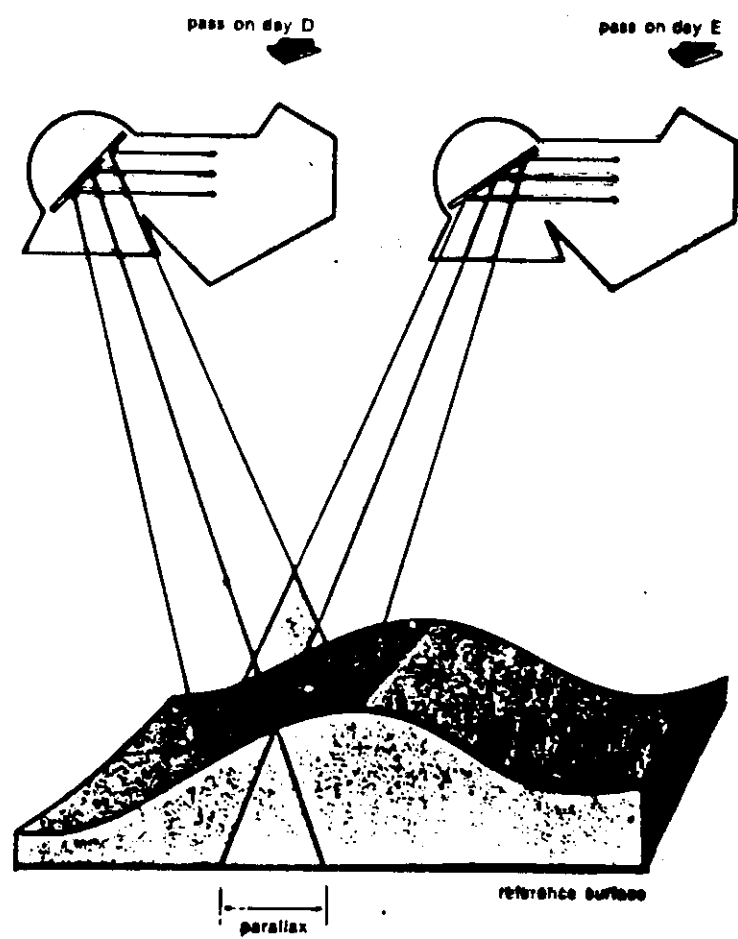
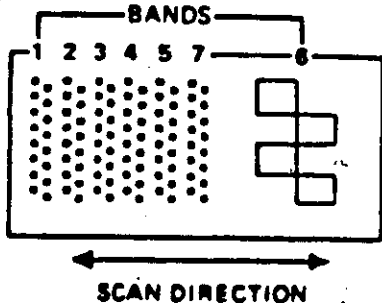


FIG. 24 - Possibilità di ripresa stereoscopica del sistema SPOT, con visione laterale della stessa zona da due orbite diverse con due diversi angoli di ripresa.

**SURFACE PROJECTION
OF THE DETECTOR IFOV'S**



SCAN MIRROR

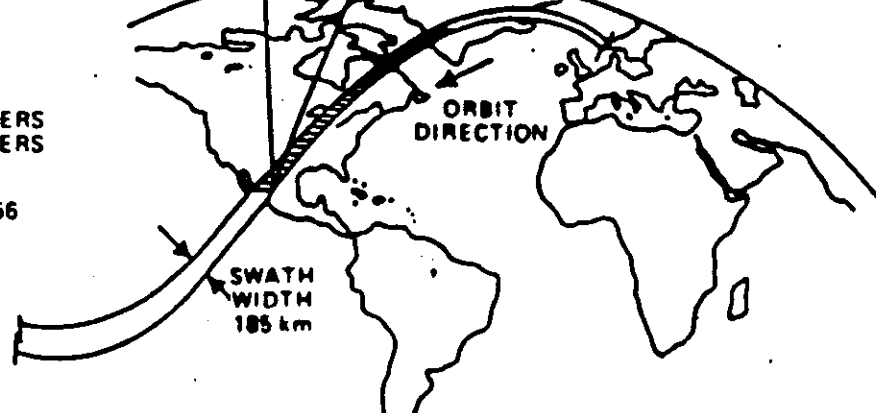
ALONG
TRACK
DIRECTION

SCAN
LINE
CORRECTOR

SILICON
DETECTORS
AND FILTERS
BANDS 1
2
3
4

COOLED
DETECTORS
AND FILTERS
BANDS 5
7
6

GROUND IFOV
BANDS 1+5 & 7 30 METERS
BANDS 6 120 METERS
DATA RATE - 84.9 MBPS
QUANTIZATION LEVELS - 256

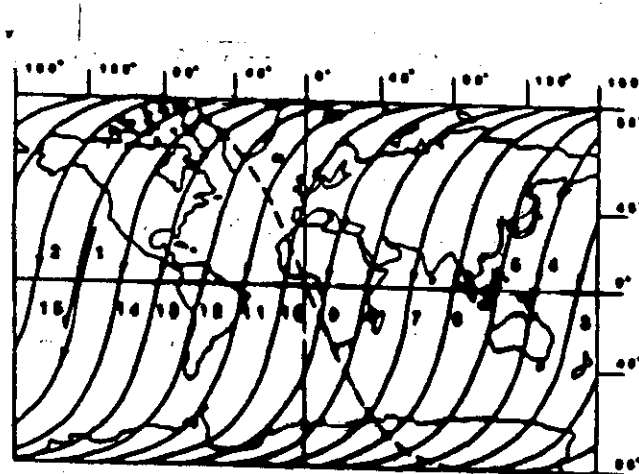


Schema di principio di funzionamento dello scanner TM (Landsat 4,5). (Figura tratta da NASA Technical memo n. 86149).

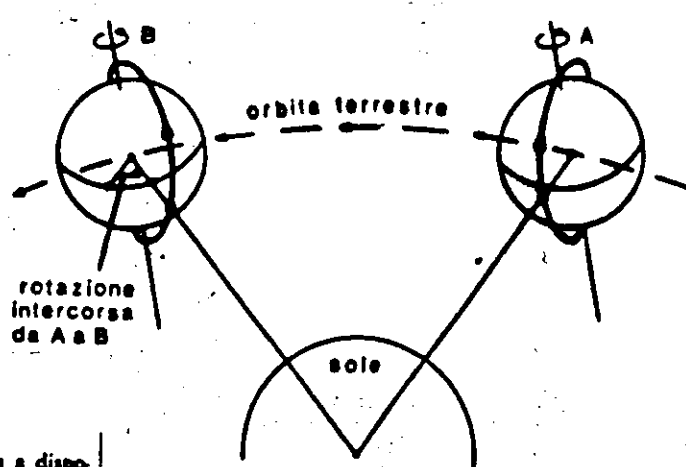
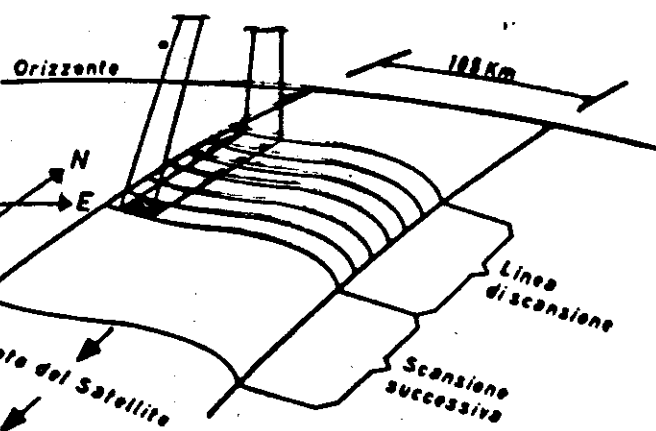
Rivelatori
matrice 6x6

Ortica
Specchio

**SCANNER
MULTISPETTRALE (M.S.S.)**



In questa figura sono rappresentati i tracciati delle orbite Landsat (1, 2, 3) relative a 24 ore (14 orbite complete). In trattaglio è riportata una delle orbite «notturne».



Schema di principio della scansione MSS Landsat: ciascuna delle 4 bande ha a disposizione 6 rivelatori.

Precessione delle orbite che formano un elioide.

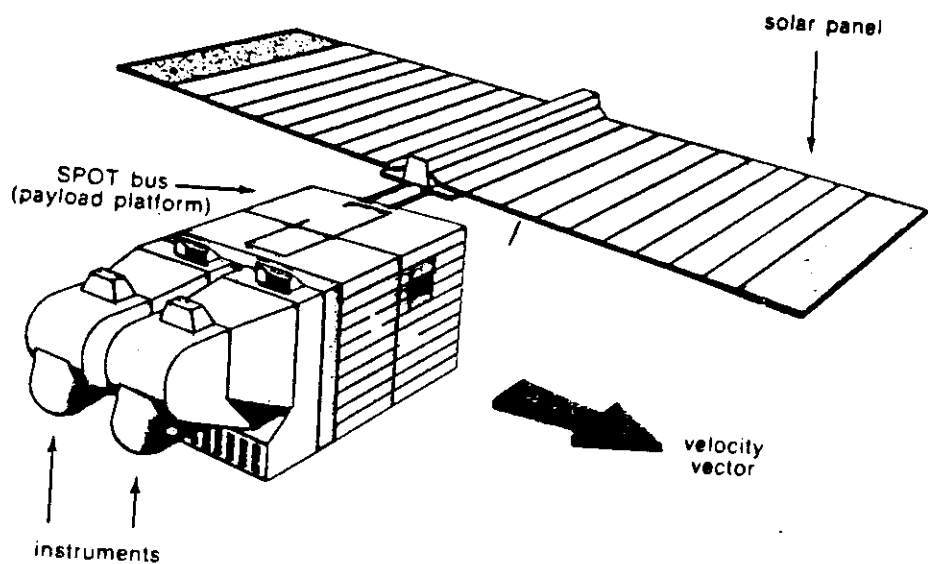


FIG. 20 - Il satellite SPOT.

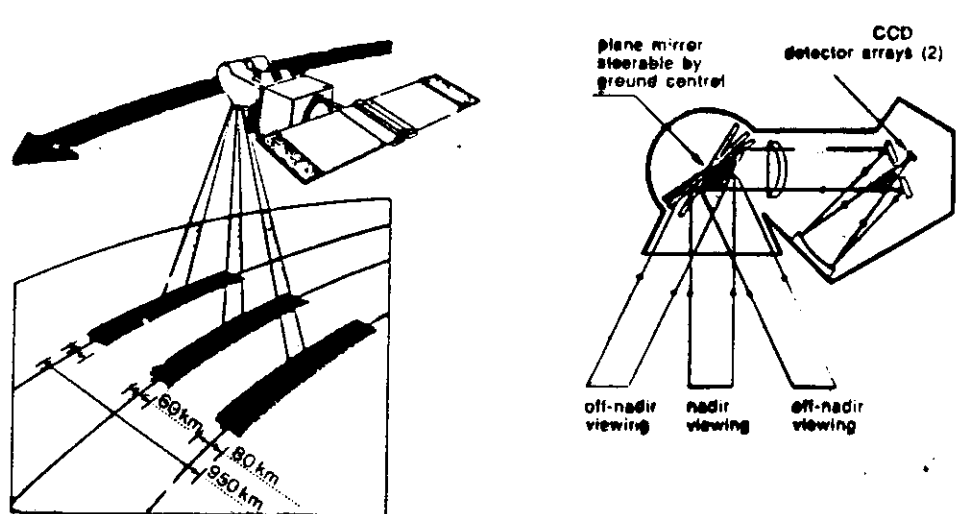
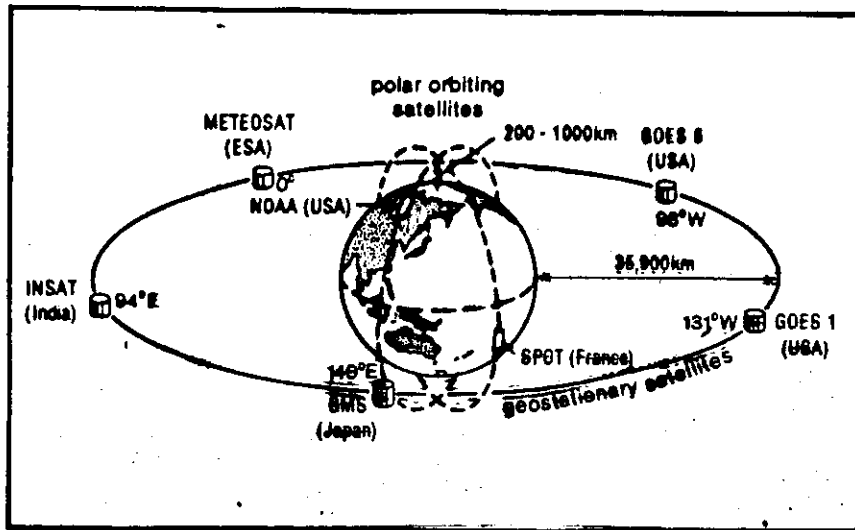


FIG. 22 - Possibilità di visione off-axis ($\pm 27^\circ$) del sistema SPOT.

Meteosat wavebands

Band	Wavelength range (μm)	Resolution (km) at 0° latitude 0° longitude
Visible/near infrared	0.4–1.1	2.5
Water vapour	5.7–7.1	5.0
Thermal infrared	10.5–12.5	5.0



Polar and geostationary orbits used for meteorological and Earth observation satellites. (Modified from ESA 1985)

Characteristics of the Multispectral Scanner (MSS) and Thematic Mapper (TM) carried on Landsats 4 and 5

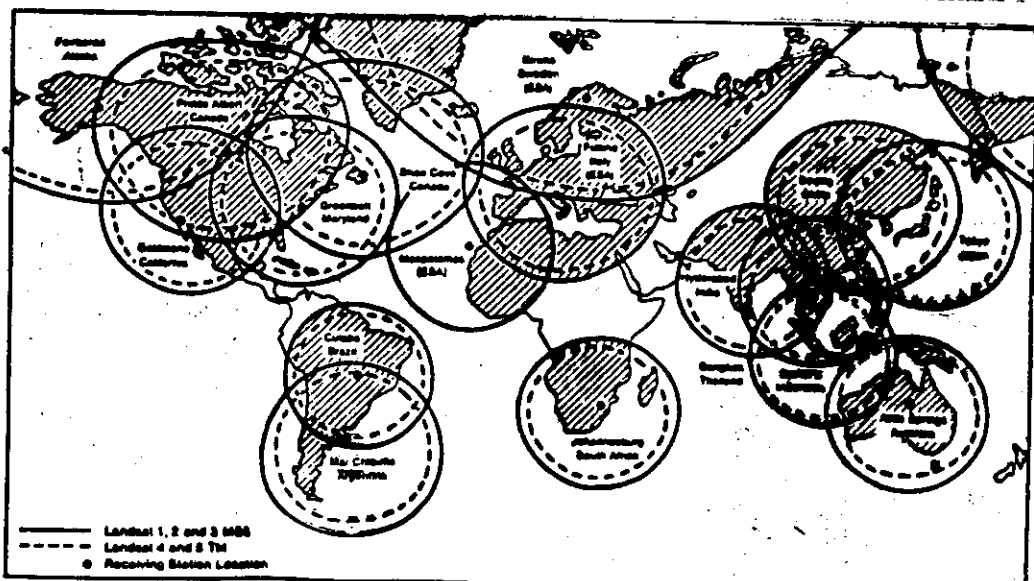
<i>Band</i>	<i>MSS wavelength range (μm)</i>	<i>TM wavelength range (μm)</i>	<i>Principal applications for TM data</i>
1	0.5–0.6	0.45–0.52	Coastal water mapping Soil/vegetation differentiation
2	0.6–0.7	0.52–0.60	Green reflectance by healthy vegetation
3	0.7–0.8	0.63–0.69	Chlorophyll absorption for plant species differentiation
4	0.8–1.1 (1.0)	0.76–0.90	Biomass surveys
5		1.55–1.75	Vegetation moisture
6		10.4–11.7*	Snow/cloud discrimination
7		2.08–2.35	Thermal mapping including plant stress
<i>Ground pixel size</i>	82m	30m (Bands 1–5, 7) 120m (Band 6)	Vegetation moisture and geological mapping
<i>Quantization levels</i>	64	256	
<i>Data rate</i>	15 Mbps	85 Mbps	
<i>Weight</i>	68kg	258kg	
<i>Size</i>	$0.35 \times 0.4 \times 0.9\text{m}$	$1.1 \times 0.7 \times 2\text{m}$	
<i>Power</i>	50 watts	332 watts	

Sources: Freden and Gordon (1983), National Remote Sensing Centre (1985). See also Markham and Barker (1985a, b)

*Prelaunch calibration showed this wavelength range. The design range was $10.4\text{--}12.5\mu\text{m}$

Principal recent and current satellite remote sensing systems

Satellite Instrument(s) Country	Launch date(s)	Image repeat possibility	Wavelength(s)/ frequency	Spatial resolution	Swath width	Main applications
GOES series Visible and Infrared Spin- Scan Radiometer (VISSR) USA	Series from October 1975	19 minutes	Visible Thermal IR	0.8km 6.9km	Full Earth disc or quarter disc	Meteorology
Meteosat series Radiometer Meteosat 1 Meteosat 2 ESA	November 1977 June 1981	30 minutes	Visible Middle IR Thermal IR	2.4km 5km 5km	Full Earth disc or sectors	Meteorology Vegetation Environmental hazards
GMS series (Himawari) Visible and Infrared Spin-Scan Radiometer Japan	Series from July 1977	30 minutes	Visible Thermal IR	1.25 or 4km 5 or 7km	Full Earth disc or quarter disc	Meteorology
Insat I series Very High Resolution Radiometer India	IA April 1982 September 1982) IB August 1983	30 minutes	Visible Thermal IR	2.75km 11km	Full Earth disc	Meteorology
Tires-N/Noaa series Advanced Very High Resolution Radiometer (AVHRR) USA	Series from October 1978	12 hours	Visible Near IR Middle IR Two thermal IR bands	1.1km	2,400km	Meteorology Oceanography Hydrology Vegetation
Tires-N/Noaa series Tires Operational Vertical Sounder (TOVS) USA	Series from October 1978	12 hours	Twenty IR bands Three IR bands Four micro- wave bands	17.4km 147.3km 105km (at nadir)		Meteorology
Defense Meteorolog- ical Satellite Program (DMSP) Operational Linescan System (OLS) USA	Block SD series from September 1976	12 hours	Visible and thermal IR	0.6km		Meteorology



The Landsat receiving stations and their coverage areas

Satellite Instrument(s) Country	Launch date(s)	Image repeat possibility	Wavelength(s)/ frequency	Spatial resolution	Swath width	Main applications
Meteor series USSR	Series from 1969	12 hours	Visible Thermal IR			Meteorology
Kosmos series Multispectral scanner Kosmos 1500 Kosmos 1602 USSR		3 days	Four bands visible and near IR	1.5km	1930km	Meteorology Land applications
Landsat series USA						
Multispectral scanner (MSS)			Four bands in visible and near IR	79m	185km	Land use Vegetation Geology
Landsat 1	July 1972	18 days	Thermal IR	237m		Geomor- phology
Landsat 2	January 1975	18 days	(Landsat 3 only)			Hydrology
Landsat 3	March 1978	18 days				
Landsat 4	July 1982	16 days				
Landsat 5	March 1984	16 days				
Thematic Mapper (TM)			Six bands visible, near and middle IR	30m	185km	Land use Vegetation Geology Geomor- phology Hydrology Cartography
Thematic Mapper (TM)			Thermal IR	120m		
SPOT High Resolution Visible (HRV) France	February 1986	2.5 days (off- nadir)	Visible Near IR Panchromatic	20m 10m	60km	Land use Agriculture Cartography Exploration
Seasat Synthetic Aperture Radar (SAR) USA	June 1978	Limited cover	23.5cm (L- band)	25m	100km	Oceanography
Space Shuttle Shuttle Imaging Radar SIR-A SIR-B USA		Limited cover	23cm (L- band)			Geology Geomor- phology Soils Land use Oceanography
Space Shuttle Metric Camera ESA	November 1983	Limited cover	Panchromatic	c.20m	190km Stereo	Topographic mapping (1:50,000– 1:100,000 scale)
Space Shuttle Large Format Camera USA	1984	Limited cover	Panchromatic Colour Near IR	c.20m		Cartography (1:50,000 scale)
Space Shuttle MOMS West Germany	June 1983 February 1984	Limited cover	Visible Near IR Thermal IR	10–20m	140km Stereo	Vegetation Land use Hydrology Geology

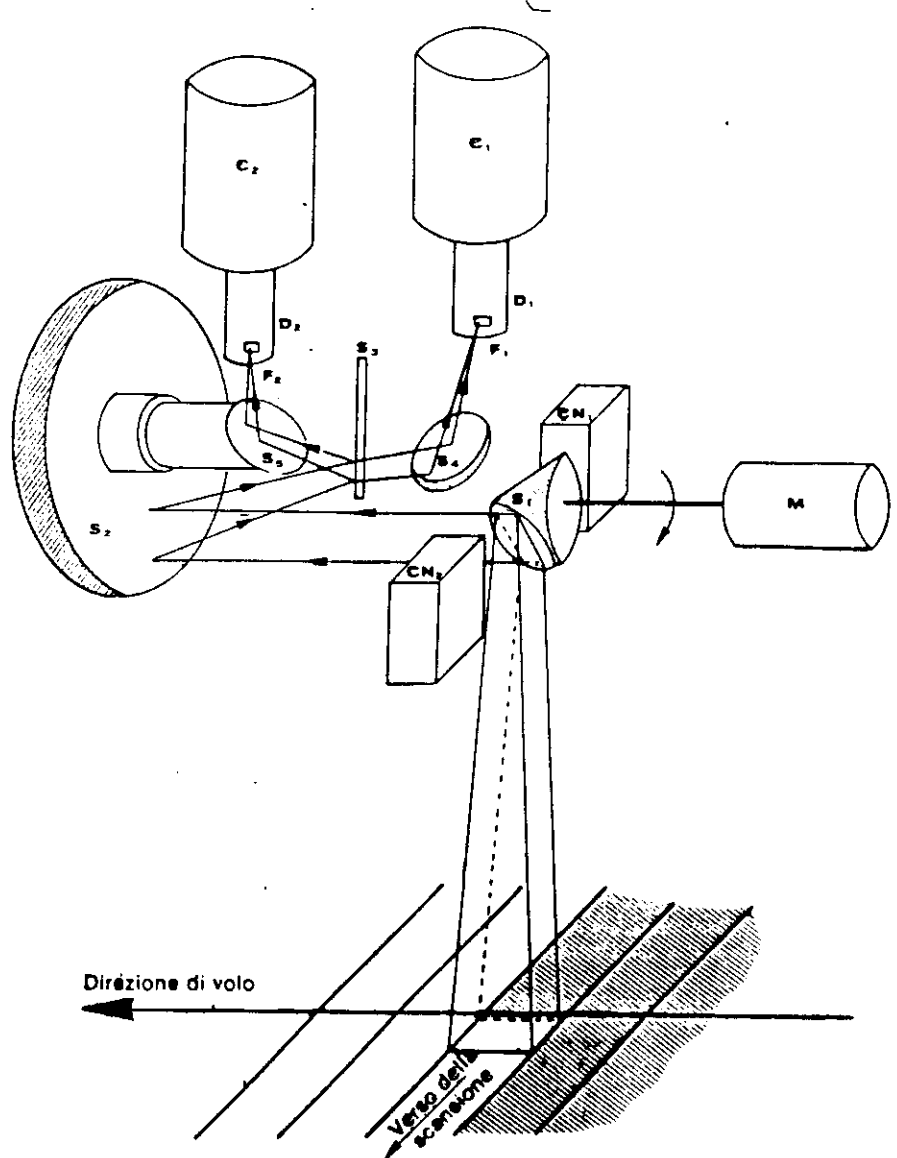


Fig. 6 — Schema di scansione ottico-meccanica. L'energia raccolta dallo specchio rotante **S₁** (messo dal motore **M**) è rinviata attraverso la serie di specchi fissi **S₂-S₅** ai due detectors **D₁** e **D₂** termostetati dai sistemi **C₁** e **C₂**. Lo specchio dicroico **S₃** separa la radianza in due campi di lunghezza d'onda contigui. **CN₁** e **CN₂** sono due riferimenti costituiti dai corpi neri di calibrazione.

Costi approssimativi delle immagini

Si portano alcune considerazioni relative ai costi e costi per ettaro delle immagini più frequentemente utilizzate; poiché i prezzi sono soggetti a variazione si riportano cifre (1985) che non vanno prese come assolute:

1) Immagine digitale TM completa (7 bande)	= L. 7.300.000
2) 1/4 immagine digitale TM completa (7 bande)	= L. 2.000.000
3) Immagine digitale MSS completa (4 bande)	= L. 1.200.000
4) Negativo (1 banda 240 m) TM 1/4 immagine	= L. 200.000
5) Negativo (1 banda 240 mm), MSS	= L. 100.000

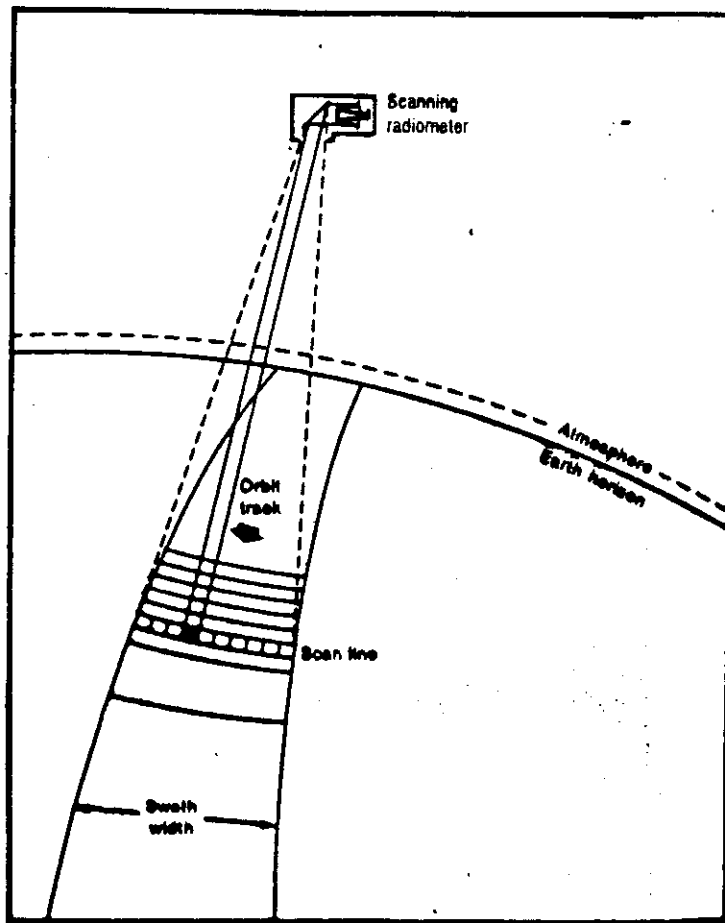
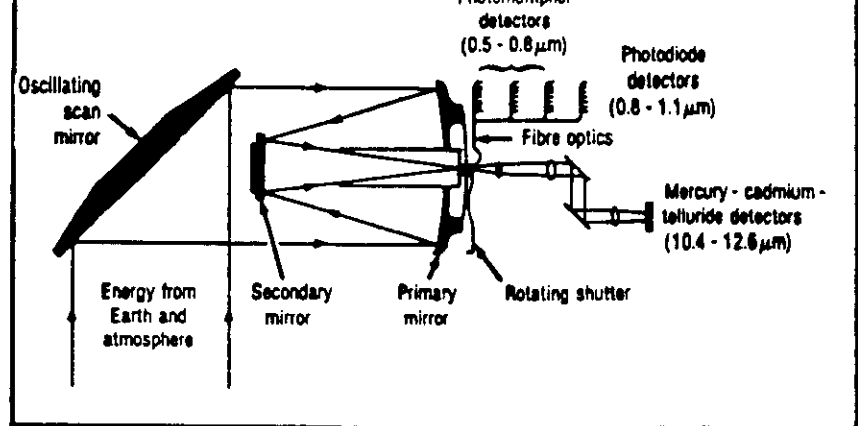
Sulla base di queste cifre si può ottenere una indicazione del costo/ettaro

Superficie (Ha)	Lire/Ha
1) 3.422.500	2.13
2) 850.000	2.35
3) 3.422.500	0.35
4) 850.000	0.23
5) 3.422.500	0.03.

Questi costi — oltre ad essere approssimativi — non tengono conto del fatto che:

- Per le immagini digitali è necessario un centro di calcolo (spese di investimento) per il funzionamento del quale si deve tener conto delle spese di gestione, spese per contratto di assistenza, ammortamento ecc. Non solo, ma anche l'acquisto o la produzione di software di trattamento vanno conteggiati in questa fase.
- Per le immagini su supporto fotografico è necessaria una camera scura dotata di attrezzature opportune all'uopo e di tutto il materiale chimico per i trattamenti.
- Per elaborare le immagini digitali o fotografiche occorre personale specializzato, il cui costo incide comunque sul costo globale del risultato finale.

Sorge spontaneo un confronto con i costi/ettaro delle immagini tradizionali riprese da aereo, ma una comparazione con esse è praticamente impossibile, data la natura profondamente diversa delle caratteristiche dei due modi di ripresa: In questa sede pertanto non si ritiene competitivo l'un metodo rispetto all'altro ma si sottolinea che — posto un problema di ripresa — adottare una tecnica di ripresa o l'altra dipende essenzialmente dal risultato che si vuole ottenere e dalle specifiche esigenze del problema.



Schematic diagram of the Landsat 3 Multispectral Scanner scanning radiometer (top) and its orbital scanning pattern. (In part after Freden and Gordon 1983)

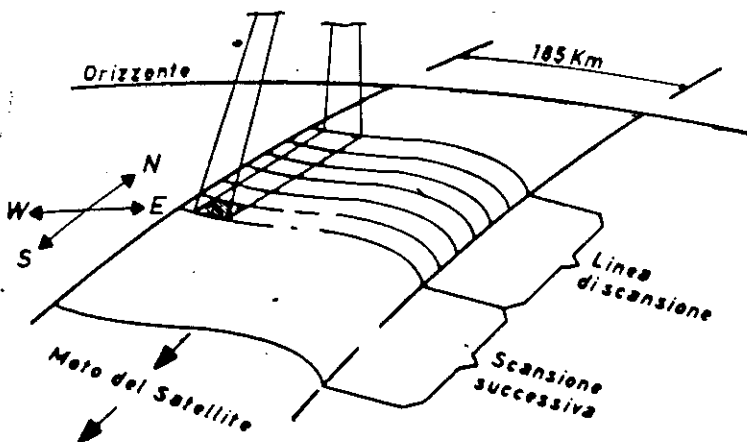
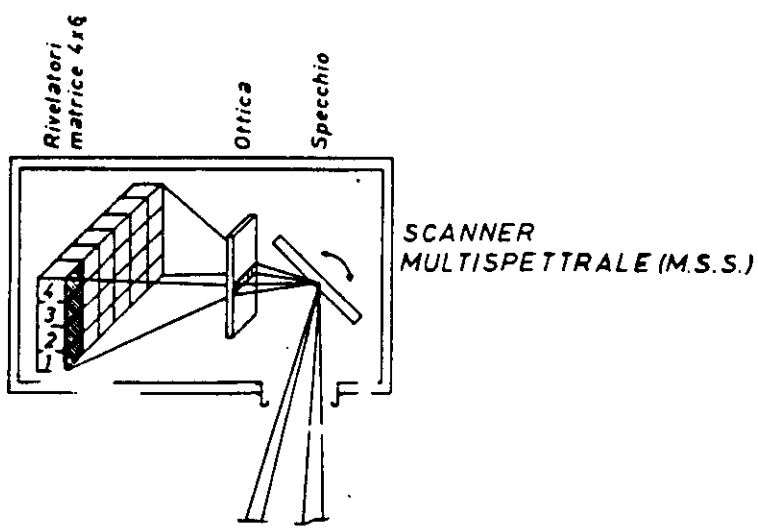


FIG. 16 - Schema di principio della scansione MSS Landsat: ciascuna delle 4 bande ha a disposizione 6 rivelatori.

LANDSAT-D Thermal Mapper Spectral and Radiometric Characteristics

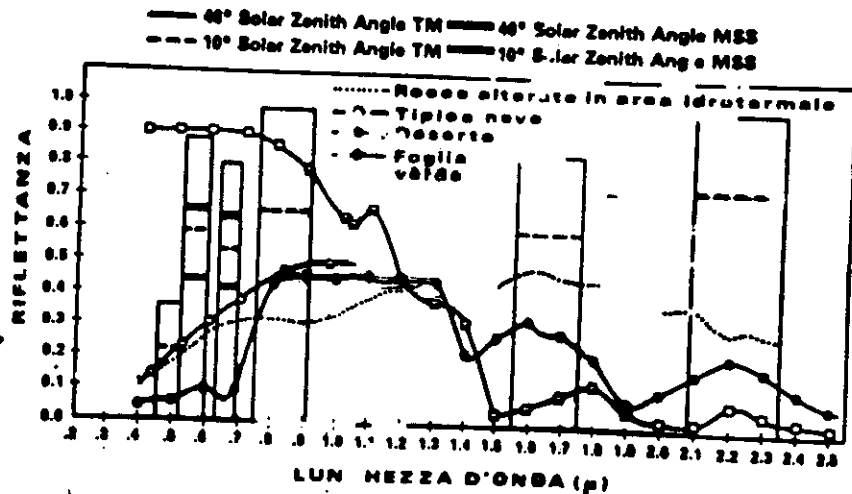
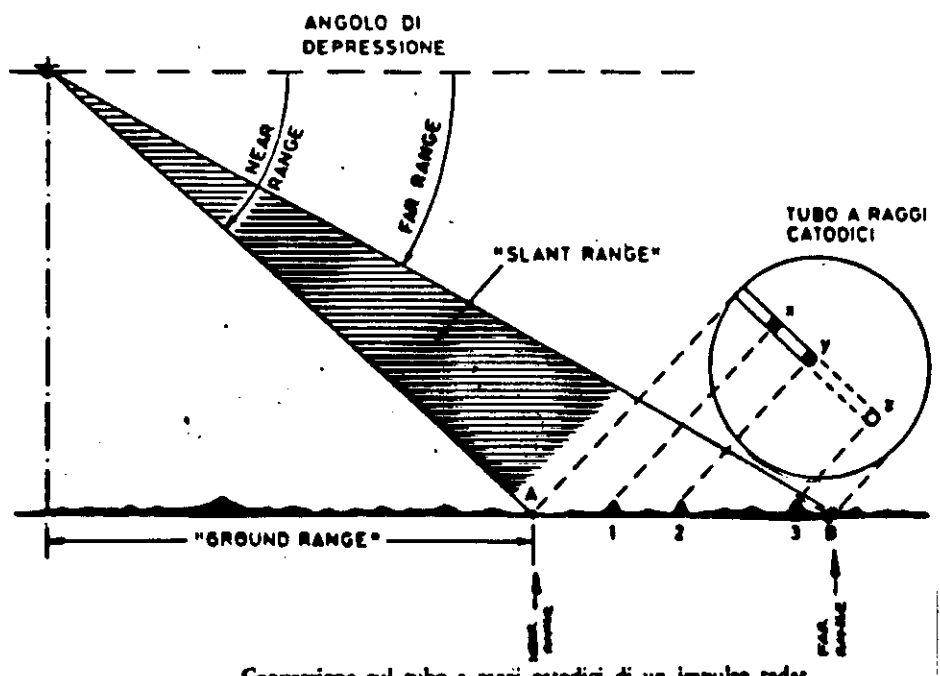
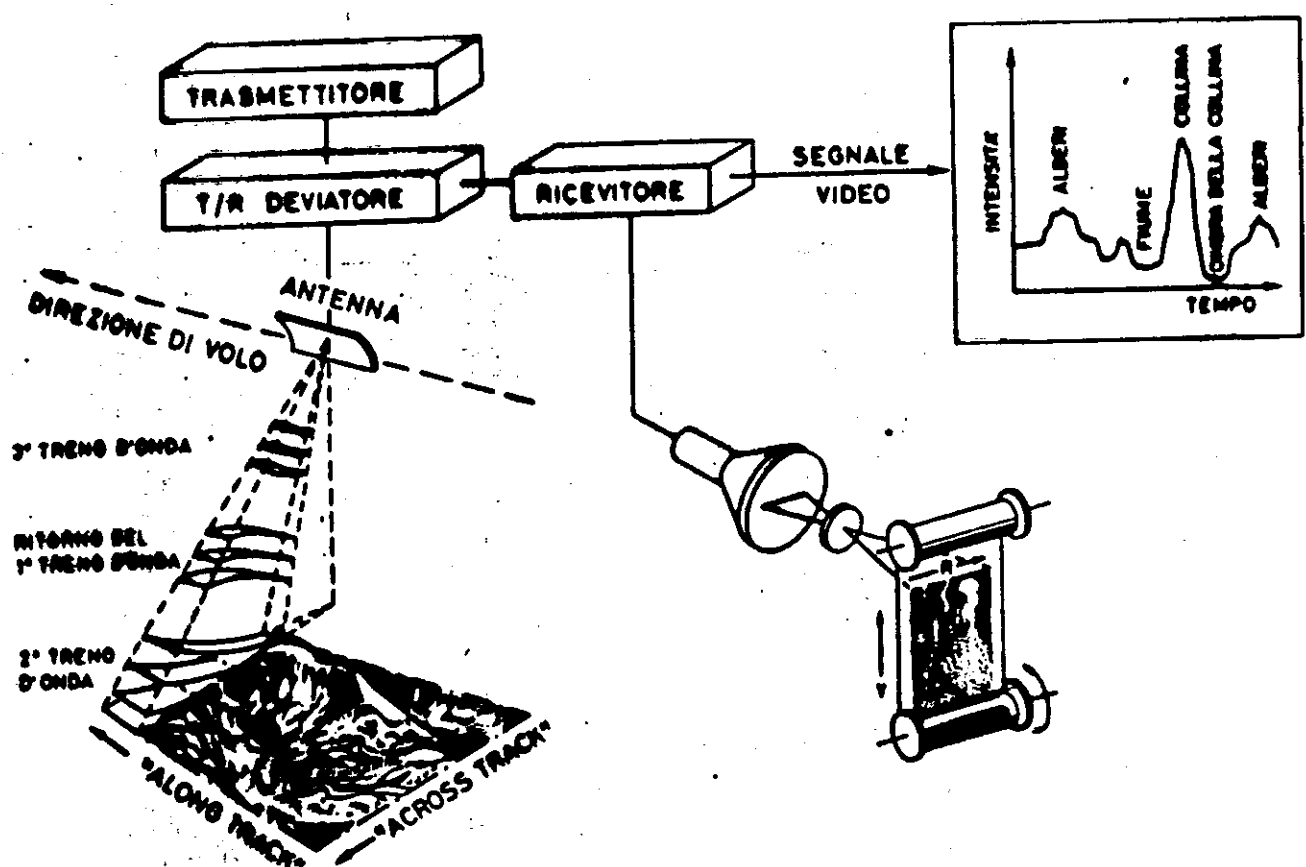


FIG. 18 - In questa figura sono rappresentate le bande 1, 2, 3, 4, 5, 7 del TM, la loro posizione sullo spettro e la loro larghezza. (Figura tratta dal Manual of Remote Sensing).



Conversione sul tubo a raggi catodici di un impulso radar.



Configurazione elementare di un sistema radar

